

# **ZAVRŠNI RAD**

**IZ PREDMETA «GRAĐEVNA STATIKA 2»**

**NA TEMU:**

## **«USPOREDBA RAVNINSKOG I PROSTORNOG MODELA OKVIRNE KONSTRUKCIJE»**

Mentor: prof.dr.sc. Krešimir Fresl, dipl.ing.građ.

Student: Goran Milaković, 0082032961

rujan '08

## SADRŽAJ ZAVRŠNOG RADA IZ PREDMETA «GRAĐEVNA STATIKA 2»

<b>UVOD</b>	3
<b>1. TEHNIČKI OPIS</b>	4
<b>2. DJELOVANJA NA KONSTRUKCIJU</b>	5
2.1. Opterećenje vlastitom težinom .....	6
2.2. Opterećenje snijegom .....	6
2.3. Opterećenje vjetrom .....	7
2.3.1. Opći podaci .....	7
2.3.2. Opterećenje vjetrom dvostranog krova nagiba 12 .....	8
2.3.3. Opterećenje vjetrom vertikalnih zidova .....	11
<b>3. STATIČKI PRORAČUN GREDE POZ. 310-311</b>	13
3.1. Analiza opterećenja ploče poz.300.....	14
3.2. Analiza opterećenja grede poz. 310-311.....	15
3.3. Statički proračun grede poz. 310-311 (SAP).....	16
<b>4. STATIČKI PRORAČUN GREDE POZ. 220-221</b>	18
4.1. Analiza opterećenja ploče poz.200.....	19
4.2. Analiza opterećenja uzdužnih greda poz.200.....	19
4.2.1. Greda poz. 206-206.....	20
4.2.2. Greda poz. 214-215-215-214.....	22
4.2.3. Greda poz. 210-211-212-213.....	22
4.2.4. Greda poz. 207-208-207.....	23
4.3. Statički proračun grede poz. 220-221 (SAP).....	23
<b>5. STATIČKI PRORAČUN SREDNJEG POPREČNOG OKVIRA</b>	26
5.1. Statički proračun srednjeg poprečnog okvira (SAP).....	27
<b>6. STATIČKI PRORAČUN PROSTORNOG MODELAA</b>	32
6.1. Statički proračun prostornog modela (SAP).....	33
<b>7. USPOREDBA NUMERIČKIH REZULTATA</b>	39
7.1. Usporedba numeričkih rezultata u karakterističnim točkama.....	40
<b>ZAKLJUČAK I LITERATURA</b>	41

## UVOD

Kako i sam naslov kaže, moj zadatak u završnom radu je prikazati prostorni u usporedbi s ravninskim modelom konstrukcije (koji je ujedno i dio tog prostornog modela).

Prostorni model ćemo relativno jednostavno izračunati u nekom računalnom programu (u ovom slučaju SAP v.11). Pitanje je kako taj model usporediti s ravninskim modelom. Odgovor leži u prepoznavanju *hijerarhijske ovisnosti* među elementima prostornog modela.

Dakle, primjenimo postupak hijerarhijske ovisnosti na ovaj primjer.

Statički proračun grede (310-311, 220-221) ćemo obaviti tako da opterećenje na nju prenesemo s ploče dok ćemo kao rubne uvjete uzeti prečke okvira na koje se greda oslanja.

Analogno tome provodimo statički proračun okvira; opterećenje na okvir se prenosi s ploča i sekundarnih greda, a za rubne uvjete uzimamo zidove iz kojih se okvir izdiže.

Iz ovog kratko opisanog postupka može se zaključiti slijedeće: «Promatrani element opterećenje uvijek nasljeđuje od hijerarhijski nižeg elementa, a rubne uvjete od hijerarhijski višeg elementa» (uzrok tome je što kod hijerarhijski nižih elemenata krutost zanemaruјemo, a hijerarhijski više elemente smatramo apsolutno krutim i nepomičnim).

## 1. TEHNIČKI OPIS

Napravljen je statički proračun kuće pravokutnih tlocrtnih dimenzija 11,6x20,8 m. Po visini objekt se sastoji od tri etaže (podrum, prizemlje i prvi kat). Razmaci etaža iznose 4 m. Ukupna površina svake etaže iznosi bruto 241,3 m.

Krovna konstrukcija se sastoji od drvenih rešetki (ljepljeno lamelirano drvo BS 14h) na razmacima  $e=1,733$  m. Pokrov je lagani, valoviti poinčani čelični lim.

Vanjski zidovi poduma su AB, debljine  $h=30$  cm, a unutrašnji  $h=16$  cm. Ostale etaže imaju skeletni sistem gradnje sa stupovima, a ispuna su lagane pregradne stijene.

Strop iznad poduma je puna AB ploča nosiva u dva smjera, debljine  $h=14$  cm. Strop iznad prizemlja je puna AB ploča nosiva u jednom smjeru, debljine  $h=12$  cm. Strop iznad prvog kata je polumontažni FERT-strop, debljine  $h=16+5=21$  cm.

Opterećenja su uzeta prema važećim Eurocode normama za opterećenja. Mjerodavni podaci za određivanje opterećenja vjetrom i snijegom uzeti su za zonu A(Zagreb).

Statički proračun elemenata sklopa proveden je za djelovanja slijedećih opterećenja:

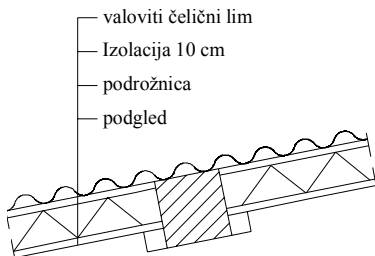
- vlastita težina
- korisno opterećenje
- snijeg
- vjetar

*Plan oplate kuće preuzet je iz kolegija «Betonske i zidane konstrukcije 1»*

## 2. DJELOVANJA NA KONSTRUKCIJU

## 2.1. OPTEREĆENJE VLASTITOM TEŽINOM

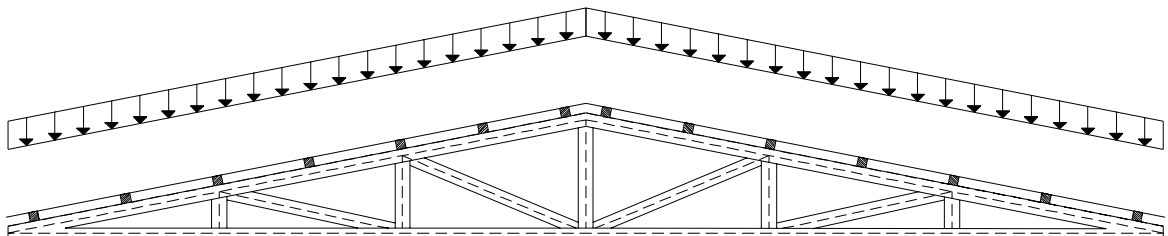
*Analiza djelovanja pokrova i potkonstrukcije:*



Valoviti čelični lim	.....	0,2kN/m <sup>2</sup>
Izolacija min.vunom	.....	0,05kN/m <sup>2</sup>
V.t. podrožnice	.....	0,05kN/m <sup>2</sup>
Podgled	.....	0,15kN/m <sup>2</sup>
<b>Ukupno</b>	.....	<b>0,45kN/m<sup>2</sup></b>

*Projekcija djelovanja pokrova i potkonstrukcije na gl.rešetkasti nosač:*

V.t. gl.rešetkastog nosača	.....	<b>0,41 kN/m</b>
Projekcija	.....	<b>0,46 kN/m<sup>2</sup></b>



## 2.2. OPTEREĆENJE SNIJEGOM

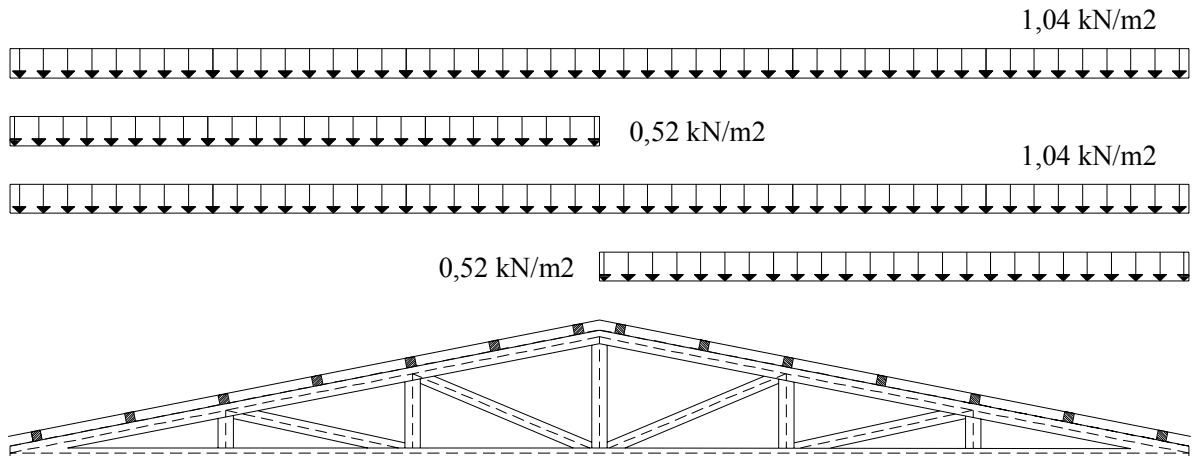
- zona: A
- n.v. = 200 m

$$\perp s_k = 1,3 \text{ kN/m}^2 \quad (\text{karakteristično opterećenje snijegom na tlu})$$

$$\begin{aligned} s_0 &= s_k \cdot \mu \cdot C_0 \cdot C_i \\ s_{01} &= 1,3 \cdot 0,8 \cdot 1 \cdot 1 \\ s_{02} &= 1,3 \cdot 0,8 \cdot 1 \cdot 1 \\ \hline s_0 &= 1,04 \text{ kN/m}^2 \end{aligned}$$

(mjerodavno karakteristično opterećenje snijegom na krovu)

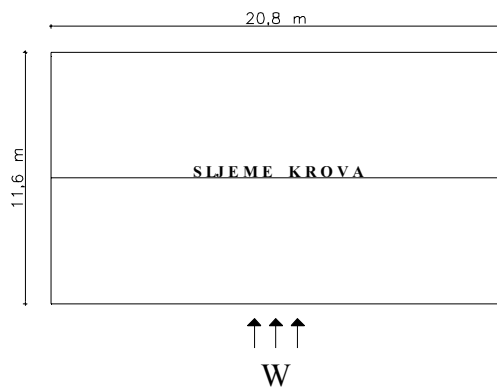
Shema opterećenja snijegom:



## 2.3. OPTEREĆENJE VJETROM

### 2.3.1. OPĆI PODACI

- područje 1
- referentna brzina vjetra  $v_{\text{REF}} = 22 \text{ m/s}$
- referentni pritisak:  $q_{\text{REF}} = 0,5 \cdot \rho \cdot v_{\text{REF}}^2 = 0,5 \cdot 1,25 \cdot 484 \cdot 0,001 = 0,3 \text{ kN/m}^2$
- kat.terena: IV
- opterećenje konstrukcije vjetrom analizirati će se za transverzalni smjer jer je mjerjenjima utvrđeno da vjetar puše samo iz tog smjera



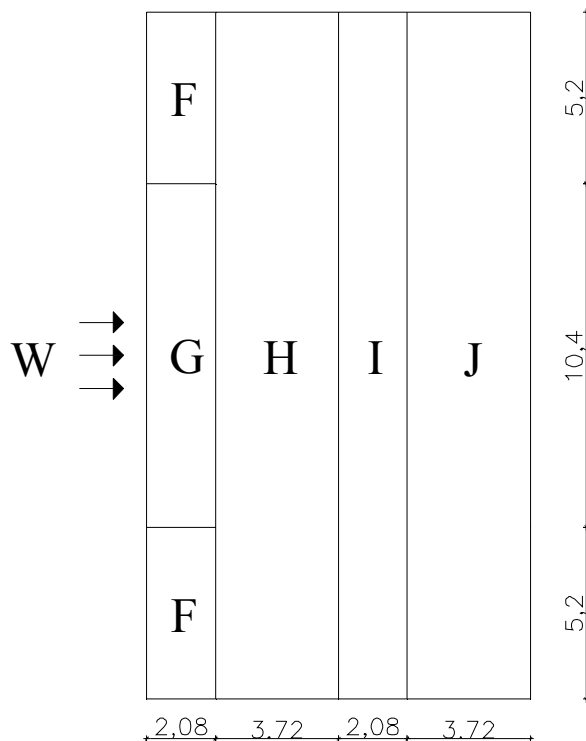
- opterećenje vjetrom posebno će se analizirati za 2 slučaja:
  - dvostrani krov s nagibom od  $12^\circ$
  - vertikalni zidovi objekta pravokutnog tlocrta

### 2.3.2. OPTEREĆENJE VJETROM DVOSTRANOG KROVA NAGIBA 12

- referentni pritisak:  $q_{REF} = 0,3 \text{ kN/m}^2$
- kat.terena: IV
- visina(z)=h=11,5 m

$$\sqsubset C_e(z) = 1,55 \quad (\text{koeficijent izloženosti krovne plohe})$$

*Zone krova za transverzalni smjer vjetra:*



Površine zona:

$$\begin{aligned} F &= 5,2 \cdot 2,08 = 10,82 \text{ m}^2 \\ G &= 10,4 \cdot 2,08 = 21,63 \text{ m}^2 \\ H &= 3,72 \cdot 20,8 = 77,37 \text{ m}^2 \\ I &= 2,08 \cdot 20,8 = 43,26 \text{ m}^2 \\ J &= 3,72 \cdot 20,8 = 77,37 \text{ m}^2 \end{aligned}$$

Koeficijenti vanjskog pritiska vjetra:

$$\begin{aligned} C_{pe}(F) &= -1,1 (+0,15) \\ C_{pe}(G) &= -0,9 (+0,15) \\ C_{pe}(H) &= -0,4 (+0,2) \\ C_{pe}(I) &= -0,4 \\ C_{pe}(J) &= -0,79 \end{aligned}$$

Koeficijenti unutarnjeg pritiska:

$$C_{pi} = -0,5 (+0,8)$$

$$\text{Tlak vjetra na vanjske površine: } w_e = q_{REF} \cdot C_e \cdot C_{pe}$$

$$\begin{aligned} W_e(F-) &= 0,3 \cdot 1,55 \cdot (-1,1) = -0,51 \text{ kN/m}^2 \\ W_e(F+) &= 0,3 \cdot 1,55 \cdot (+0,15) = +0,07 \text{ kN/m}^2 \\ W_e(G-) &= 0,3 \cdot 1,55 \cdot (-0,9) = -0,42 \text{ kN/m}^2 \\ W_e(G+) &= 0,3 \cdot 1,55 \cdot (+0,15) = +0,07 \text{ kN/m}^2 \\ W_e(H-) &= 0,3 \cdot 1,55 \cdot (-0,4) = -0,19 \text{ kN/m}^2 \\ W_e(H+) &= 0,3 \cdot 1,55 \cdot (+0,2) = +0,09 \text{ kN/m}^2 \\ W_e(I) &= 0,3 \cdot 1,55 \cdot (-0,4) = -0,19 \text{ kN/m}^2 \\ W_e(J) &= 0,3 \cdot 1,55 \cdot (-0,79) = -0,37 \text{ kN/m}^2 \end{aligned}$$

Tlak vjetra na unutarnje površine:  $W_e = q_{REF} \cdot C_e \cdot C_{pi}$

$$W_i(+) = 0,3 \cdot 1,55 \cdot (+0,8) = +0,37 \text{ kN/m}^2$$

$$W_i(-) = 0,3 \cdot 1,55 \cdot (-0,5) = -0,23 \text{ kN/m}^2$$

a) Opterećenje vjetrom na krovu u slučaju maksimalnog unutanjeg tlaka ( $C_{pi} = +0,8$ ):

$$W(F-) = -0,51 - 0,37 = -0,88 \text{ kN/m}^2$$

$$W(F+) = +0,07 - 0,37 = -0,3 \text{ kN/m}^2$$

$$W(G-) = -0,42 - 0,37 = -0,79 \text{ kN/m}^2$$

$$W(G+) = +0,07 - 0,37 = -0,3 \text{ kN/m}^2$$

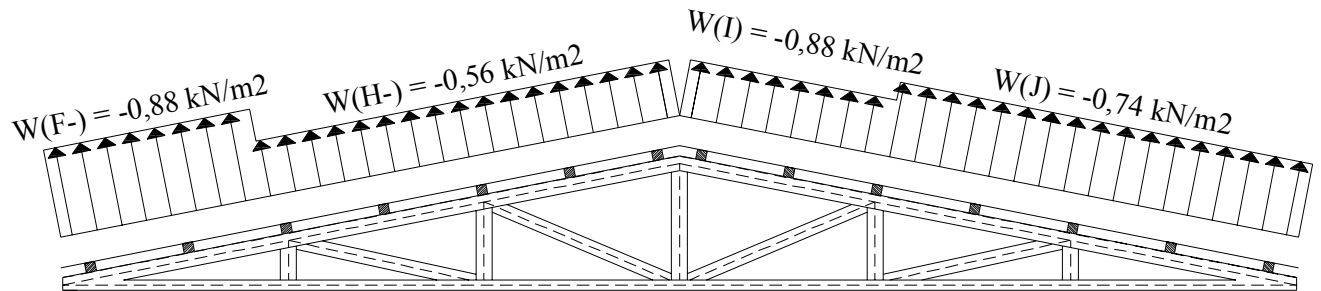
$$W(H-) = -0,19 - 0,37 = -0,56 \text{ kN/m}^2$$

$$W(H+) = +0,09 - 0,37 = -0,28 \text{ kN/m}^2$$

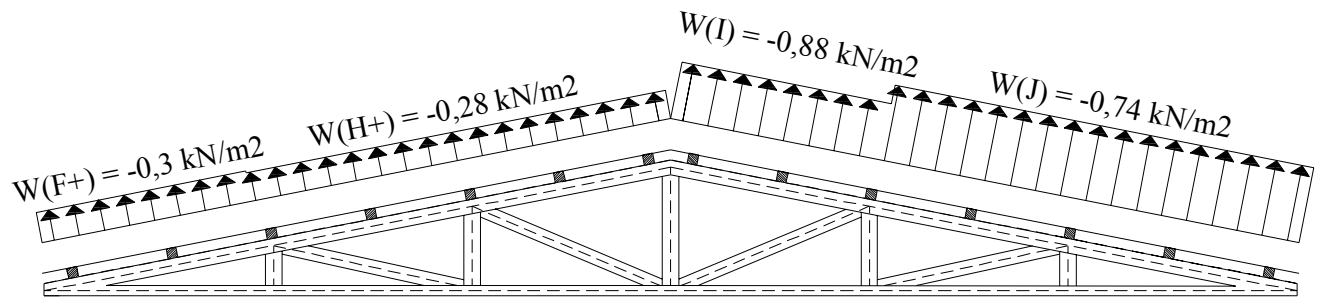
$$W(I) = -0,19 - 0,37 = -0,56 \text{ kN/m}^2$$

$$W(J) = -0,37 - 0,37 = -0,74 \text{ kN/m}^2$$

# W<sub>1</sub>



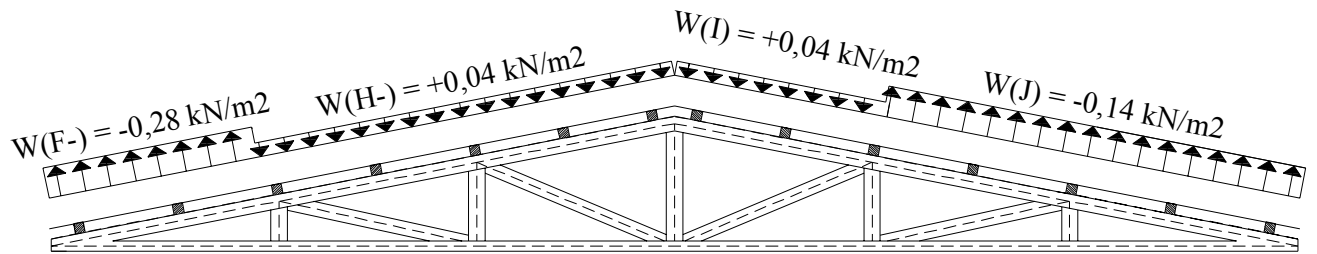
# W<sub>2</sub>



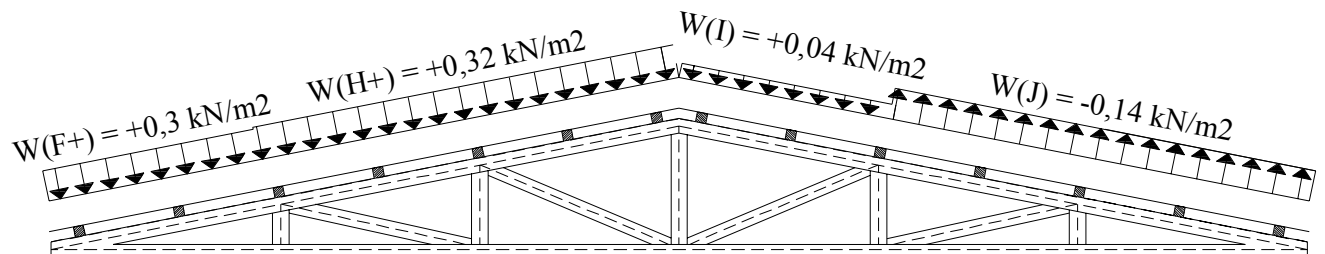
b) Opterećenje vjetrom na krovu u slučaju minimalnog unutarnjeg tlaka ( $C_{pi} = -0,5$ ):

$$\begin{aligned} W(F-) &= -0,51 + 0,23 = -0,28 \text{ kN/m}^2 \\ W(F+) &= +0,07 + 0,23 = +0,3 \text{ kN/m}^2 \\ W(G-) &= -0,42 + 0,23 = -0,19 \text{ kN/m}^2 \\ W(G+) &= +0,07 + 0,23 = +0,3 \text{ kN/m}^2 \\ W(H-) &= -0,19 + 0,23 = +0,04 \text{ kN/m}^2 \\ W(H+) &= +0,09 + 0,23 = +0,32 \text{ kN/m}^2 \\ W(I) &= -0,19 + 0,23 = +0,04 \text{ kN/m}^2 \\ W(J) &= -0,37 + 0,23 = -0,14 \text{ kN/m}^2 \end{aligned}$$

**W<sub>3</sub>**



**W<sub>4</sub>**



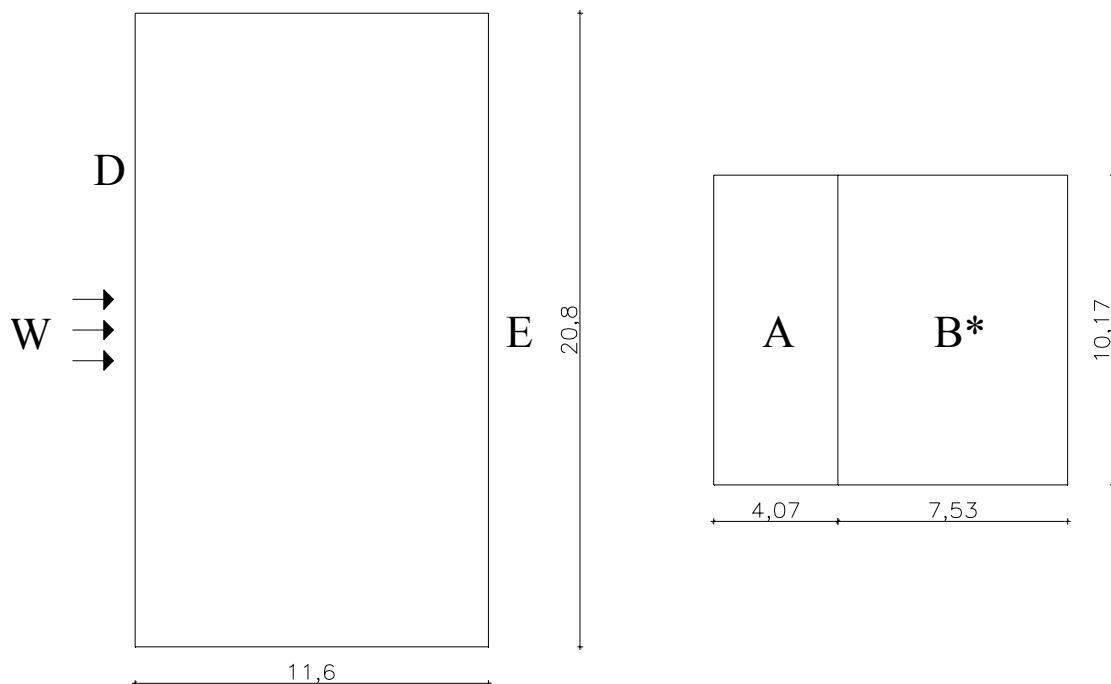
**Kao mjerodavna kombinacija za daljnju analizu odabran je slučaj W4**

### 2.3.3. OPTEREĆENJE VJETROM VERTIKALNIH ZIDOVA

- referentni pritisak:  $q_{REF} = 0,3 \text{ kN/m}^2$
- kat.terena: IV
- visina(z)=h=10,17 m

$$\sqsubset C_e(z) = 1,55 \quad (\text{koeficijent izloženosti vertikalnih zidova})$$

*Zone vertikalnih zidova za transverzalni smjer vjetra:*



Površine zona:

$$\begin{aligned} A &= 4,07 \cdot 10,17 = 41,39 \text{ m}^2 \\ B^* &= 7,53 \cdot 10,17 = 76,58 \text{ m}^2 \\ D &= 20,8 \cdot 10,17 = 211,54 \text{ m}^2 \\ E &= 20,8 \cdot 10,17 = 211,54 \text{ m}^2 \end{aligned}$$

Koeficijenti vanjskog pritiska vjetra:

$$\begin{aligned} C_{pe}(A) &= -1,0 \\ C_{pe}(B^*) &= -0,8 \\ C_{pe}(D) &= +0,8 \\ C_{pe}(E) &= -0,3 \end{aligned}$$

Tlak vjetra na vanjske površine:  $W_e = q_{REF} \cdot C_e \cdot C_{pe}$

$$W_e(A) = 0,3 \cdot 1,55 \cdot (-1,0) = -0,465 \text{ kN/m}^2$$

$$W_e(B^*) = 0,3 \cdot 1,55 \cdot (-0,8) = -0,37 \text{ kN/m}^2$$

$$W_e(D) = 0,3 \cdot 1,55 \cdot (+0,8) = +0,37 \text{ kN/m}^2$$

$$W_e(E) = 0,3 \cdot 1,55 \cdot (-0,3) = -0,14 \text{ kN/m}^2$$

Tlak vjetra na unutarnje površine:  $W_e = q_{REF} \cdot C_e \cdot C_{pi}$

$$W_i(+) = 0,3 \cdot 1,55 \cdot (+0,8) = +0,37 \text{ kN/m}^2$$

$$W_i(-) = 0,3 \cdot 1,55 \cdot (-0,5) = -0,23 \text{ kN/m}^2$$

a) Opterećenje vjetrom na vertikalne zidove u slučaju maks. unutanjeg tlaka ( $C_{pi} = +0,8$ ):

$$W(A) = -0,465 - 0,37 = -0,835 \text{ kN/m}^2$$

$$W(B^*) = -0,37 - 0,37 = -0,74 \text{ kN/m}^2$$

$$W(D) = +0,37 - 0,37 = 0,00 \text{ kN/m}^2$$

$$W(E) = -0,14 - 0,37 = -0,51 \text{ kN/m}^2$$

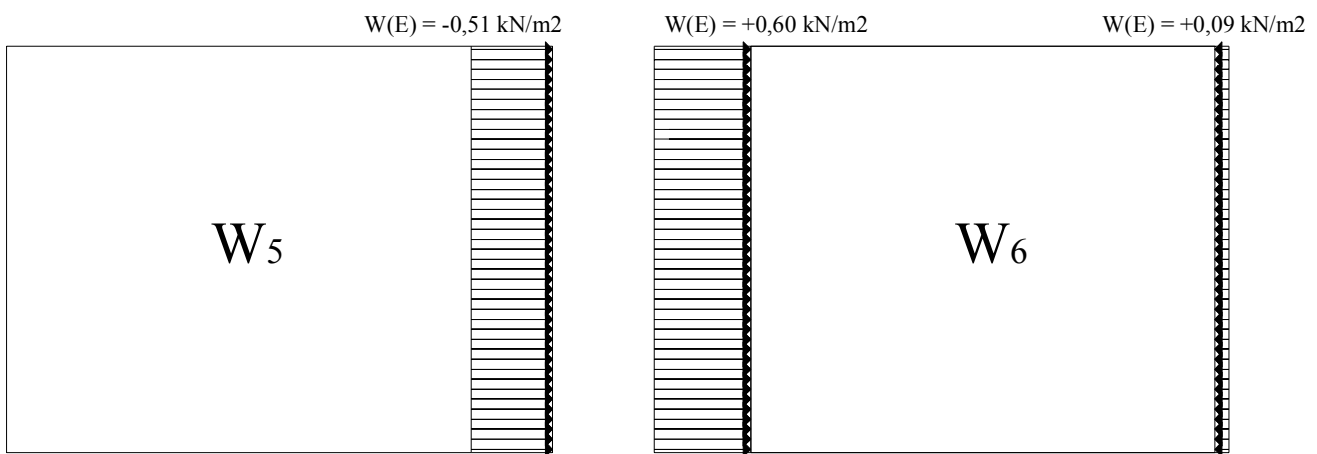
b) Opterećenje vjetrom na vertikalne zidove u slučaju min. unutanjeg tlaka ( $C_{pi} = -0,5$ ):

$$W(A) = -0,465 + 0,23 = -0,235 \text{ kN/m}^2$$

$$W(B^*) = -0,37 + 0,23 = -0,14 \text{ kN/m}^2$$

$$W(D) = +0,37 + 0,23 = +0,60 \text{ kN/m}^2$$

$$W(E) = -0,14 + 0,23 = +0,09 \text{ kN/m}^2$$



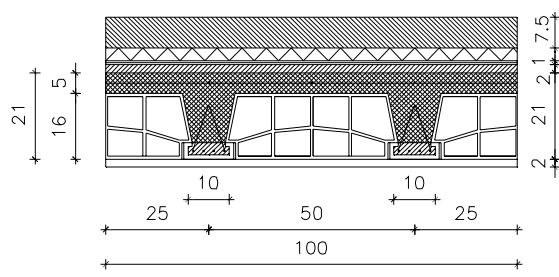
**Kao mjerodavna kombinacija za daljnju analizu odabran je slučaj  $W_6$**

### **3. STATIČKI PRORAČUN GREDE POZ. 310-311**

### 3.1. ANALIZA OPTEREĆENJA PLOČE POZ. 300

Greda 310-311 je opterećena pločom pozicije 300 koja direktno naliježe na samu gredu, dok je ploča opterećena težinom krovišta i vanjskim utjecajem (snijeg, vjetar) koji se preko krovišta prenosi na ploču. Prema tome prvo treba opterećenja s krovišta prenjeti na ploču, a zatim na gredu te onda u SAP-u napraviti statički proračun.

*Detalj FERT-stropa:*



Beton za pad 7,5cm(0,075·20)	.....	1,50kN/m <sup>2</sup>
Heraklit 3 cm (0,03·4)	.....	0,12kN/m <sup>2</sup>
Hidroizolacija	.....	0,10kN/m <sup>2</sup>
Cem.namaz 2cm (0,02·24)	.....	0,48kN/m <sup>2</sup>
FERT-strop	.....	3,00kN/m <sup>2</sup>
Podgled (žbuka na plafonu)	.....	0,25kN/m <sup>2</sup>
<b>Ukupno gpl,300</b>	.....	<b>5,45kN/m<sup>2</sup></b>

### STALNO OPTEREĆENJE

*Rebro za ukrućenje*

$$G_{REBRA} = 0,2 \cdot 0,16 \cdot (1 - 0,11) \cdot 25 \quad \dots \quad G_{REBRA} = 0,62 \text{ kN}$$

*Težina krovišta*

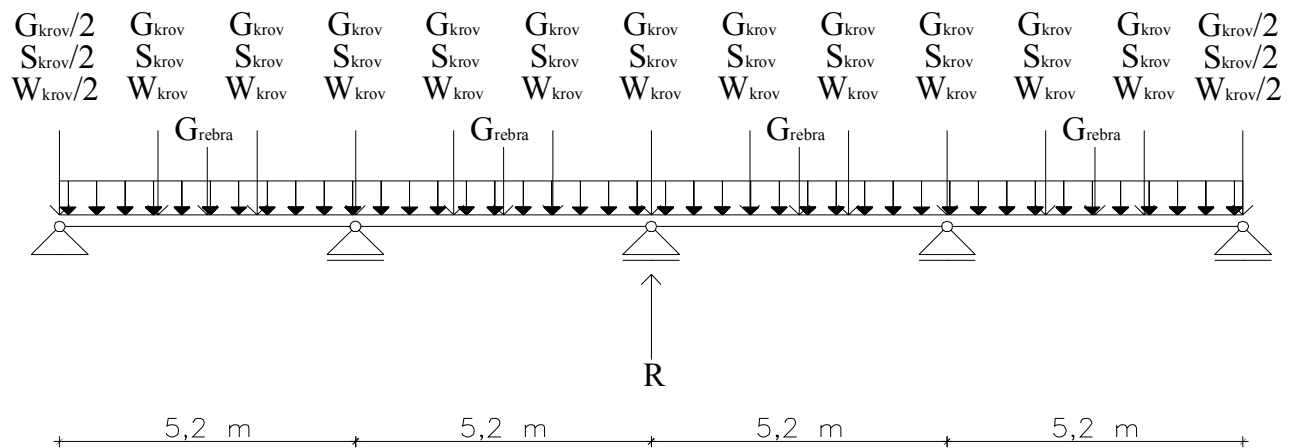
- pokrov i potkonstrukcija (0,46·1,733)	.....	0,80 kN/m
- v.t.drvene rešetke	.....	0,41 kN/m
		<b>G<sub>KROV</sub>=1,21kN/m</b>

### POKRETNO OPTEREĆENJE

$$\text{Opterećenje snijegom } (1,04 \cdot 1,733) \quad \dots \quad S_{KROV}=1,80\text{kN/m}$$

$$\text{Opterećenje vjetrom } (0,3 \cdot 1,733) \quad \dots \quad W_{KROV}=0,52\text{kN/m}$$

### *Staticka shema ploče poz.300:*



Ploča poz. 300 računati će se kao niz sastavljenih prostih greda. Raspon FERT-stropa je između 4 i 6m (5,2m) što iziskuje postavljanje jednog rebra za ukrućenje na polovicu raspona te se samim time i on mora uzeti u obzir pri analizi opterećenja.

*Reakcija ploče za stalno opterećenje:*

$$R_{STALNO} = (g_p \cdot l) + (3 \cdot G_{KROV}) + G_{REBRA} \quad \dots \quad 32,59 \text{kN/m}$$

*Reakcija ploče za pokretno opterećenje:*

$$R_{POKRETNO} = (3 \cdot S_{KROV}) + (3 \cdot W_{KROV}) \quad \dots \dots \dots \quad 6.96 \text{ kN/m}$$

### 3.2. ANALIZA OPTEREĆENJA GREDE POZ. 310-311

## STALNO OPTEREĆENJE

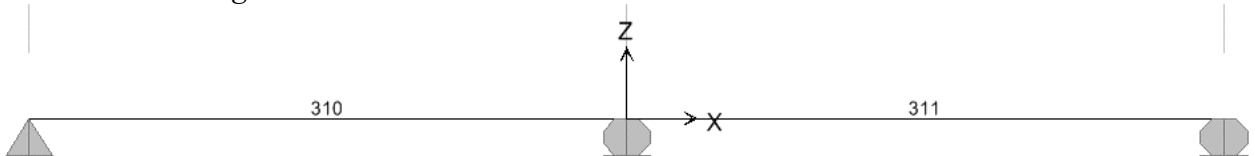
- |                                 |       |           |
|---------------------------------|-------|-----------|
| - $R_{STALNO}$                  | ..... | 32,59kN/m |
| - vlastita težina grede         | ..... | 3,75kN/m  |
| $\Sigma g = 36,34 \text{ kN/m}$ |       |           |

## **POKRETNO OPTEREĆENJE**

- R<sub>POKRETNO</sub> ..... 6,96kN/m  
 $\Sigma q = 6,96 \text{ kN/m}$

### 3.3. STATIČKI PRORAČUN GREDE POZ. 310-311 (SAP)

*Statička shema grede:*



*Koordinate čvorova:*

Joint	CoordSys	CoordType	GlobalX	GlobalY	GlobalZ
Text	Text	Text	m	m	m
1	GLOBAL	Cartesian	-5,8	0	0
2	GLOBAL	Cartesian	0	0	0
3	GLOBAL	Cartesian	5,8	0	0

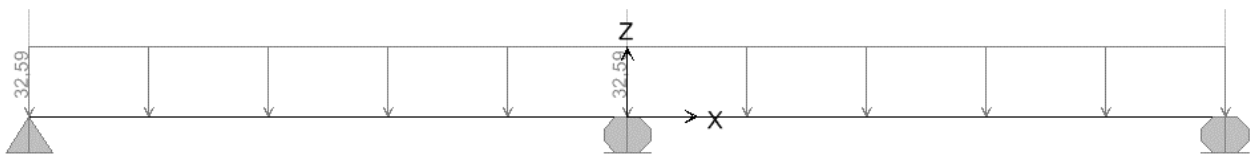
*Dimenzije poprečnog presjeka:*

SectionName	Material	Shape	t3	t2	Area
Text	Text	Text	m	m	m <sup>2</sup>
310	4000Psi	Rectangular	0,5	0,3	0,15
311	4000Psi	Rectangular	0,5	0,3	0,15

*Definicije opterećenja:*

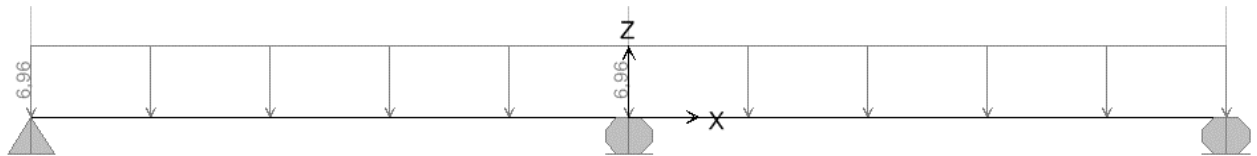
Case	LoadType	LoadName	LoadSF
Text	Text	Text	Unitless
DEAD	Load case	DEAD	1
Stalno	Load case	Stalno	1
Korisno	Load case	Korisno	1

*Shema stalnog opterećenja:*

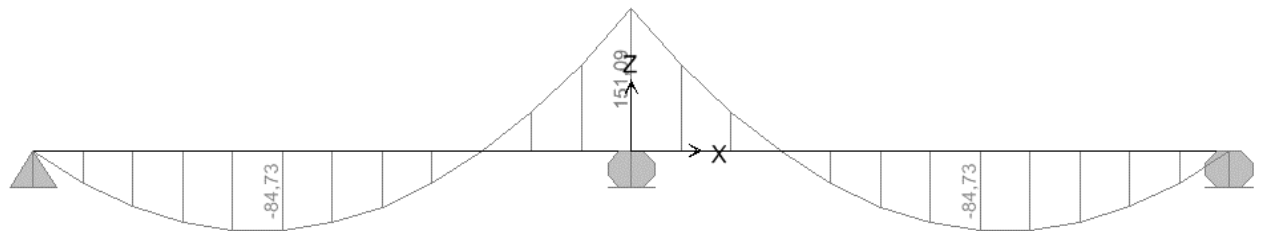


- kao stalno opterećenje nanosi se samo vrijednost reakcije ploče dok SAP sam pridružuje vlastitu težinu grede s obzirom na dimenzije poprečnog presjeka i vrstu materijala.

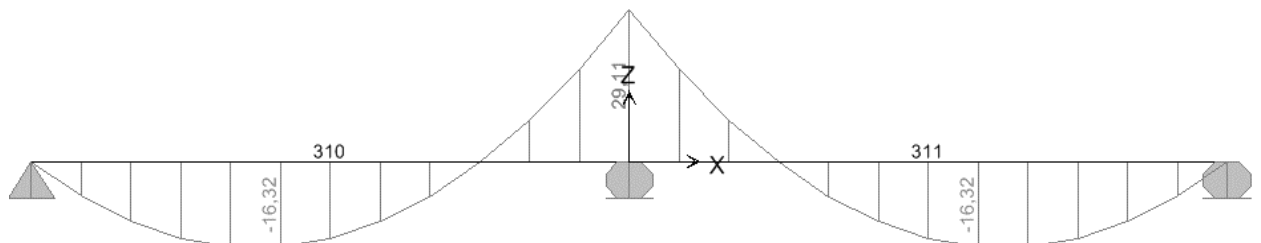
Shema korisnog opterećenja:



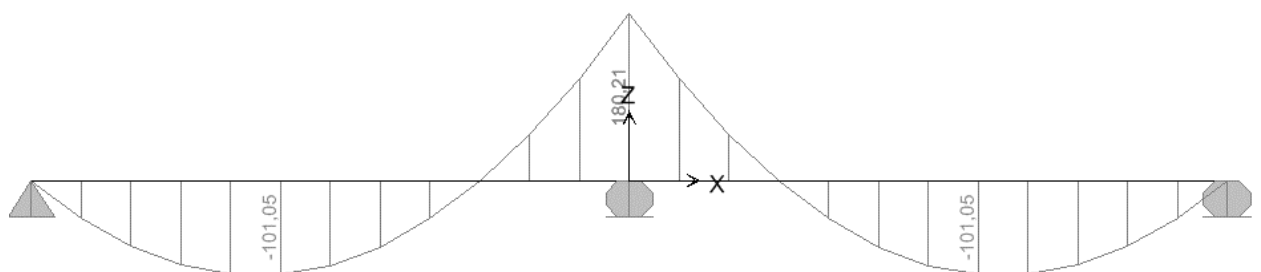
Momentni dijagram od stalnog opterećenja:



Momentni dijagram od korisnog opterećenja:



**Ukupni momentni dijagram(stalno+korisno)**

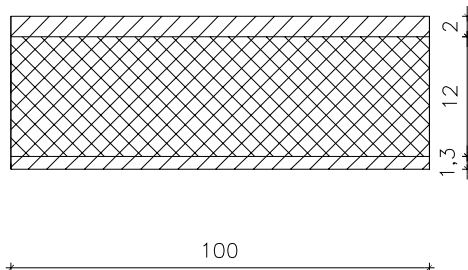


## **4. STATIČKI PRORAČUN GREDE POZ. 220-221**

#### 4.1. ANALIZA OPTEREĆENJA PLOČE POZ. 200

Greda 220-221 je opterećena pločom pozicije 200 koja direktno naliježe na samu gredu.

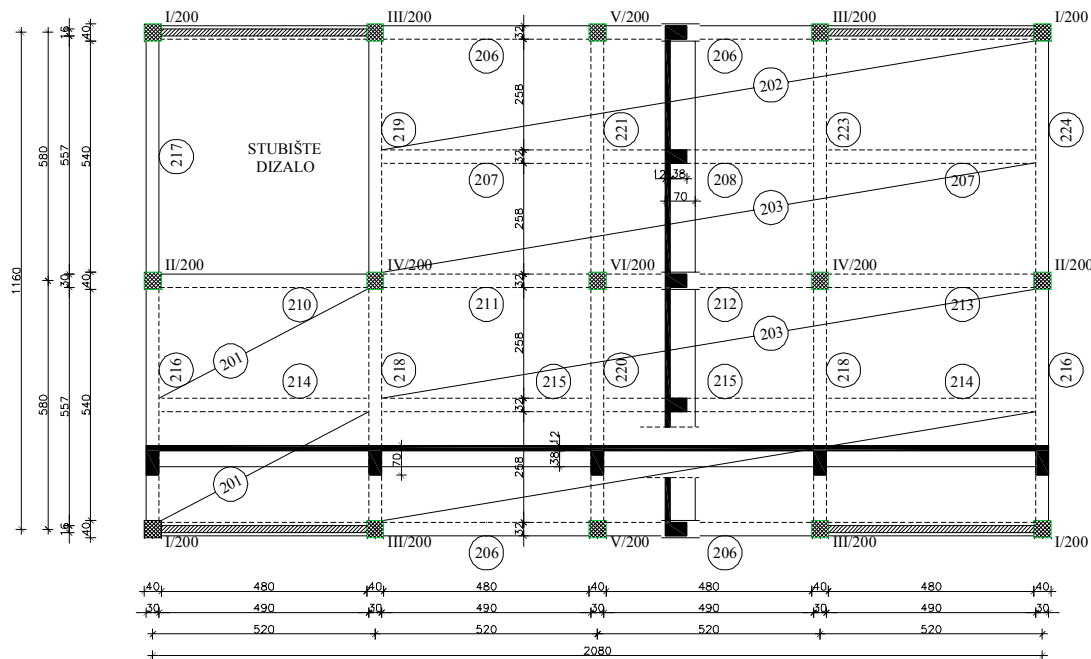
*Detalj ploče poz. 200:*



Cem.namaz 2cm (0,02·24)	.....	0,48kN/m <sup>2</sup>
AB ploča 12 cm (0,12·25)	.....	3,00kN/m <sup>2</sup>
Podgled (žbuka na plafonu)	.....	0,25kN/m <sup>2</sup>
<b>Ukupno gpl,200</b>	.....	<b>3,73kN/m<sup>2</sup></b>

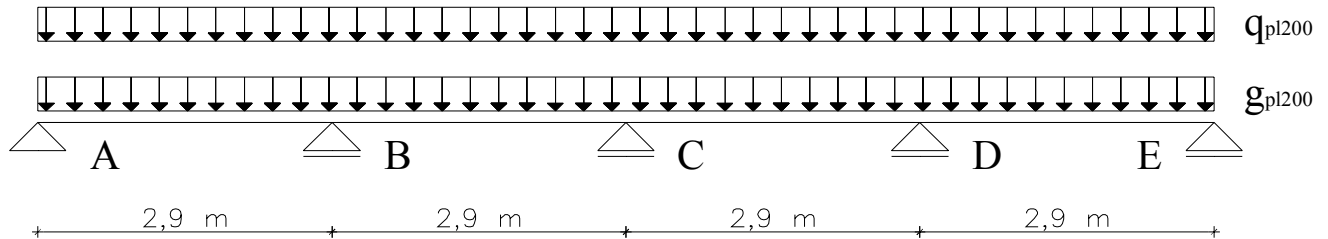
Prvi kat objekta namjenjen je za uobičajene stambene prostorije pa uzimamo da nam je korisno opterećenje  $q_{pl,200} = 2,00 \text{ kN/m}^2$  (kategorija A).

#### 4.2. ANALIZA OPTEREĆENJA UZDUŽNIH GREDA POZ. 200



Analiziramo reakciju ploče poz. 200 na uzdužne grede poz. 200 (dobivamo linijsko opterećenje), a zatim reakcije tih greda na gredu poz. 220-221 (koncentrirano opterećenje).

Statička shema ploče poz. 200:



Reakcija ploče:

$$R_{A,g} = 0,393 \cdot g \cdot l = 4,25 \text{ kN/m'}$$

$$R_{A,q} = 0,393 \cdot q \cdot l = 2,28 \text{ kN/m'}$$

$$R_{B,g} = 1,143 \cdot g \cdot l = 12,36 \text{ kN/m'}$$

$$R_{B,q} = 1,143 \cdot q \cdot l = 6,63 \text{ kN/m'}$$

$$R_{C,g} = 0,929 \cdot g \cdot l = 10,05 \text{ kN/m'}$$

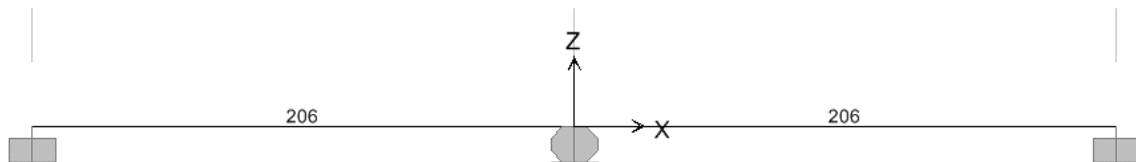
$$R_{C,q} = 0,929 \cdot q \cdot l = 5,39 \text{ kN/m'}$$

Vlastita težina pojedine grede:

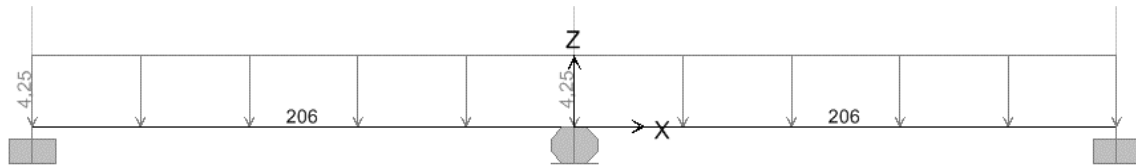
$$g_{vl} = 0,32 \cdot 0,38 \cdot 25 = 3,04 \text{ kN/m'}$$

#### 4.2.1. GREDA POZ. 206-206

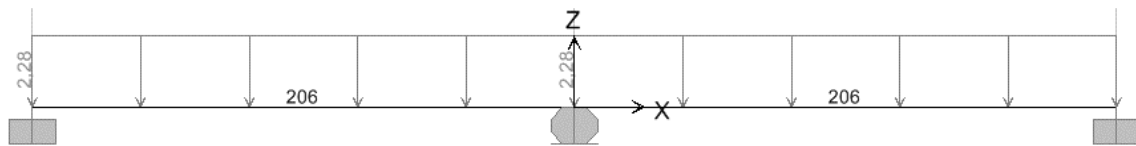
Statička shema grede poz. 220-221:



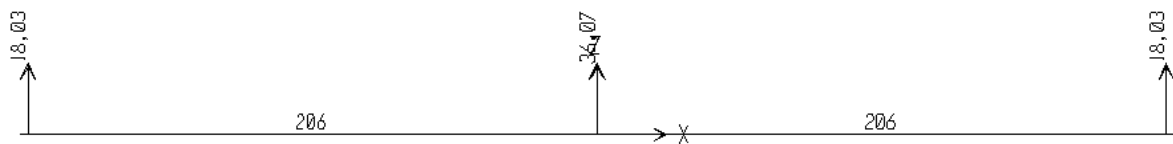
Shema stalnog opterećenja:



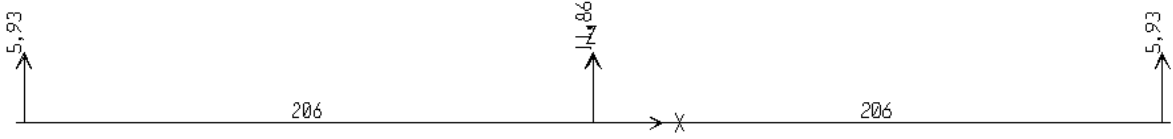
Shema korisnog opterećenja:



Reakcije od stalnog opterećenja:



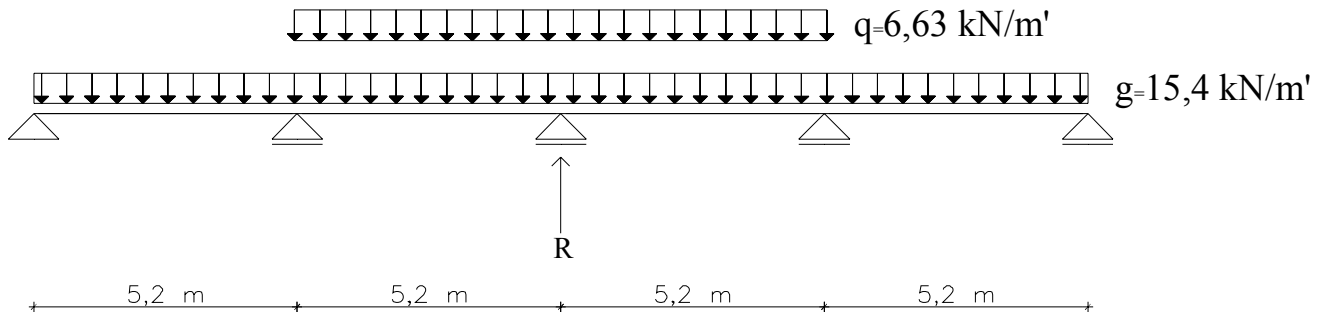
Reakcije od korisnog opterećenja:



Reakcije koje se uzimaju za daljnji proračun su:  $G_1=G_5=36,07 \text{ kN}$ ,  $Q_1=Q_5=11,86 \text{ kN}$

#### 4.2.2. GREDA POZ. 214-215-215-214

*Statička shema grede poz. 214-215-215-214:*

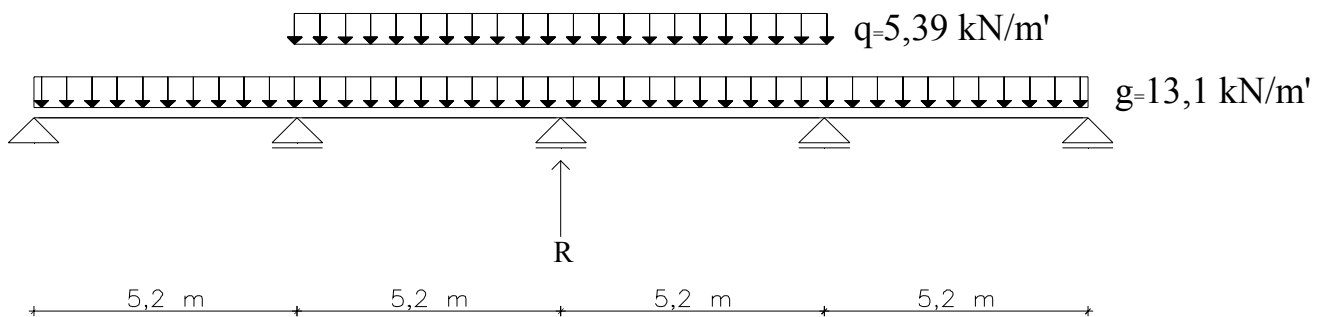


$$G_2 = 0,929 \cdot g \cdot l = 74,39 \text{ kN}$$

$$Q_2 = 1,143 \cdot g \cdot l = 39,41 \text{ kN}$$

#### 4.2.3. GREDA POZ. 210-211-212-213

*Statička shema grede poz. 210-211-212-213:*

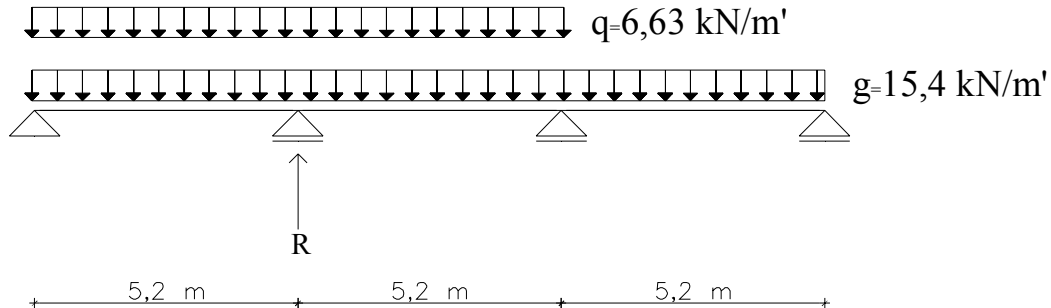


$$G_3 = 0,929 \cdot g \cdot l = 63,23 \text{ kN}$$

$$Q_3 = 1,143 \cdot g \cdot l = 32,04 \text{ kN}$$

#### 4.2.4. GREDA POZ. 207-208-207

Staticka shema grede poz. 207-208-207:

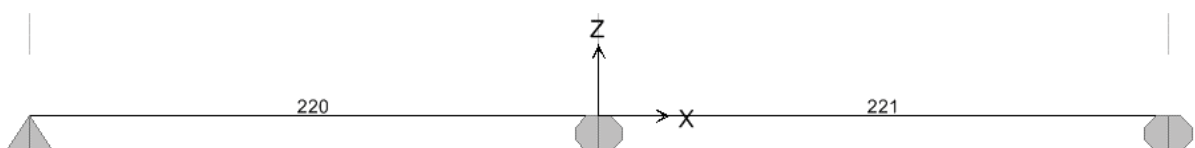


$$G_4 = 1,100 \cdot g \cdot l = 88,10 \text{ kN}$$

$$Q_4 = 1,200 \cdot g \cdot l = 41,37 \text{ kN}$$

#### 4.3. STATIČKI PRORAČUN GREDE POZ. 220-221 (SAP)

Staticka shema grede:



Koordinate čvorova:

Joint	CoordSys	CoordType	GlobalX	GlobalY	GlobalZ
Text	Text	Text	m	m	m
1	GLOBAL	Cartesian	-5,8	0	0
2	GLOBAL	Cartesian	0	0	0
3	GLOBAL	Cartesian	5,8	0	0

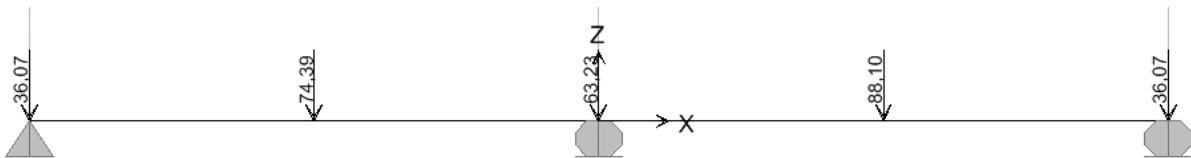
*Dimenzije poprečnog presjeka:*

SectionName	Material	Shape	t3	t2	Area
Text	Text	Text	m	m	m <sup>2</sup>
220	4000Psi	Rectangular	0,58	0,3	0,15
221	4000Psi	Rectangular	0,58	0,3	0,15

*Definicije opterećenja:*

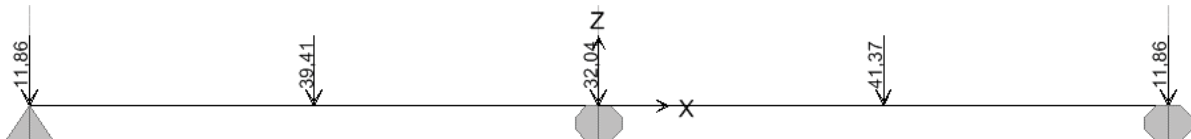
Case	LoadType	LoadName	LoadSF
Text	Text	Text	Unitless
DEAD	Load case	DEAD	1
Stalno	Load case	Stalno	1
Korisno	Load case	Korisno	1

*Shema stalnog opterećenja:*

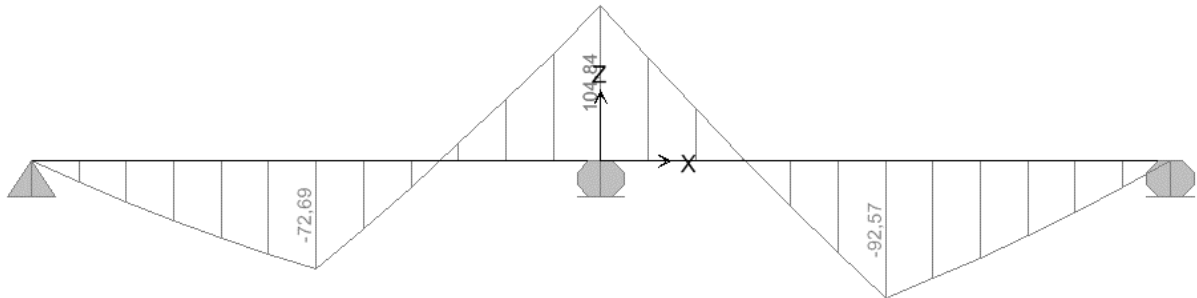


- kao stalno opterećenje nanosi se samo vrijednost reakcije ploče dok SAP sam pridružuje vlastitu težinu grede s obzirom na dimenzije poprečnog presjeka i vrstu materijala.

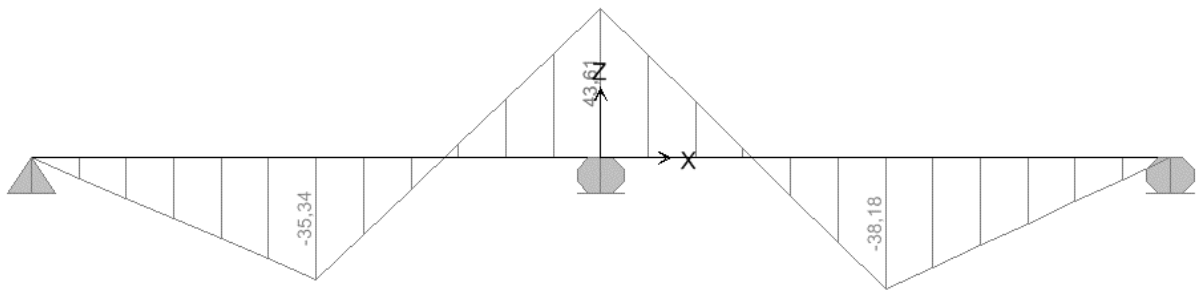
*Shema korisnog opterećenja:*



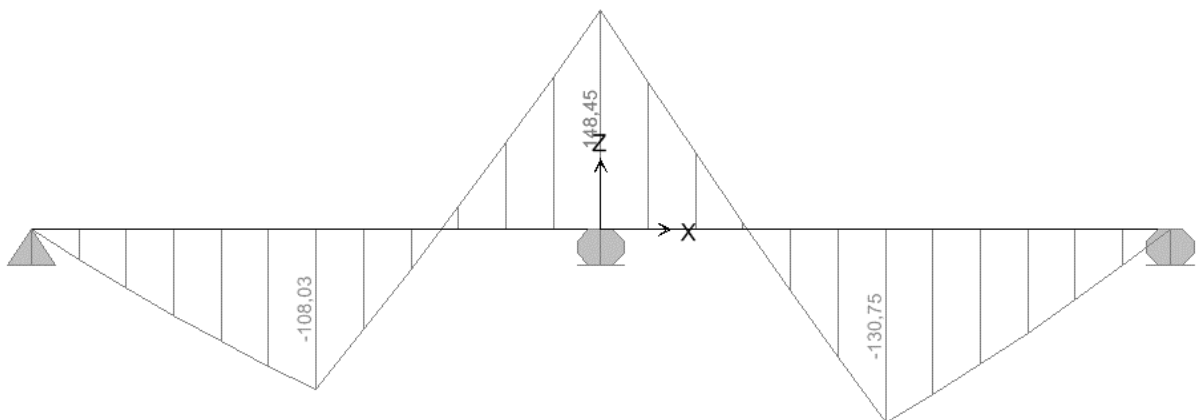
Momentni dijagram od stalnog opterećenja:



Momentni dijagram od korisnog opterećenja:



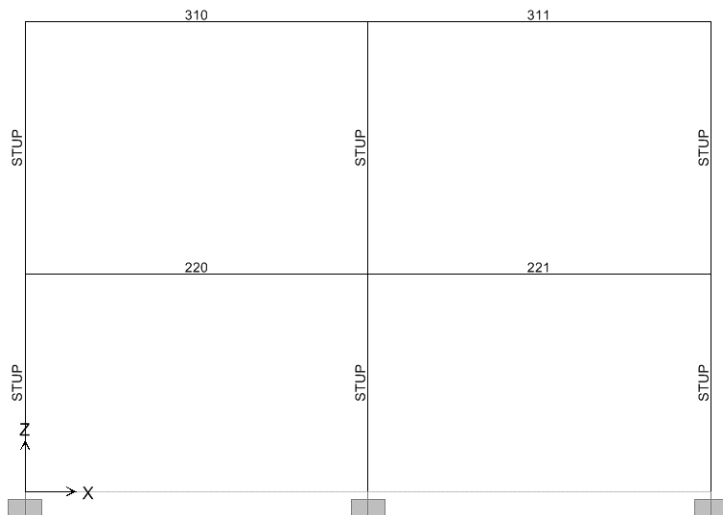
**Ukupni momentni dijagram(stalno+korisno)**



## **5. STATIČKI PRORAČUN SREDNJEG POPREČNOG OKVIRA**

## 5.1. STATIČKI PRORAČUN SREDNJEPOPREČNOG OKVIRA (SAP)

*Staticka shema okvira:*



*Koordinate čvorova:*

Joint	CoordSys	CoordType	GlobalX	GlobalY	GlobalZ
Text	Text	Text	m	m	m
1	GLOBAL	Cartesian	0	0	0
2	GLOBAL	Cartesian	0	0	3,65
3	GLOBAL	Cartesian	0	0	7,9
4	GLOBAL	Cartesian	5,8	0	0
5	GLOBAL	Cartesian	5,8	0	3,65
6	GLOBAL	Cartesian	5,8	0	7,9
7	GLOBAL	Cartesian	11,6	0	0
8	GLOBAL	Cartesian	11,6	0	3,65
9	GLOBAL	Cartesian	11,6	0	7,9

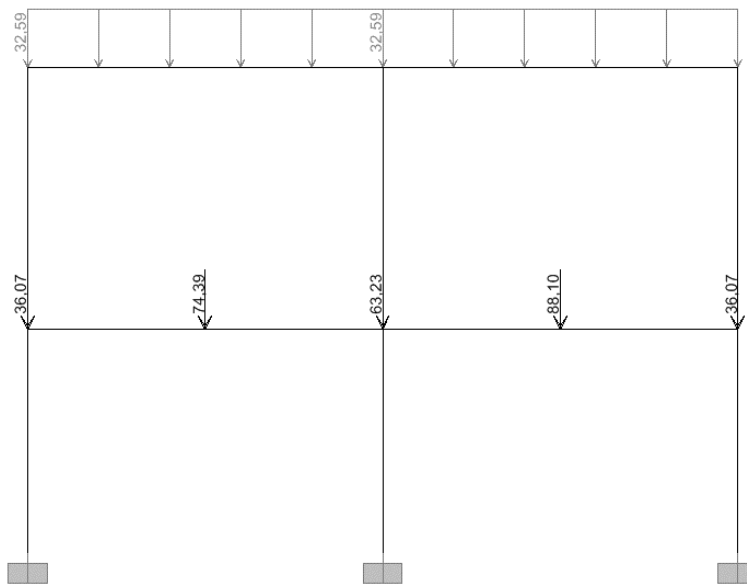
*Dimenzije poprečnog presjeka:*

SectionName	Material	Shape	t3	t2	Area
Text	Text	Text	m	m	m <sup>2</sup>
220	4000Psi	Rectangular	0,7	0,3	0,21
221	4000Psi	Rectangular	0,7	0,3	0,21
310	4000Psi	Rectangular	0,55	0,3	0,165
311	4000Psi	Rectangular	0,55	0,3	0,165
STUP	4000Psi	Rectangular	0,4	0,4	0,16

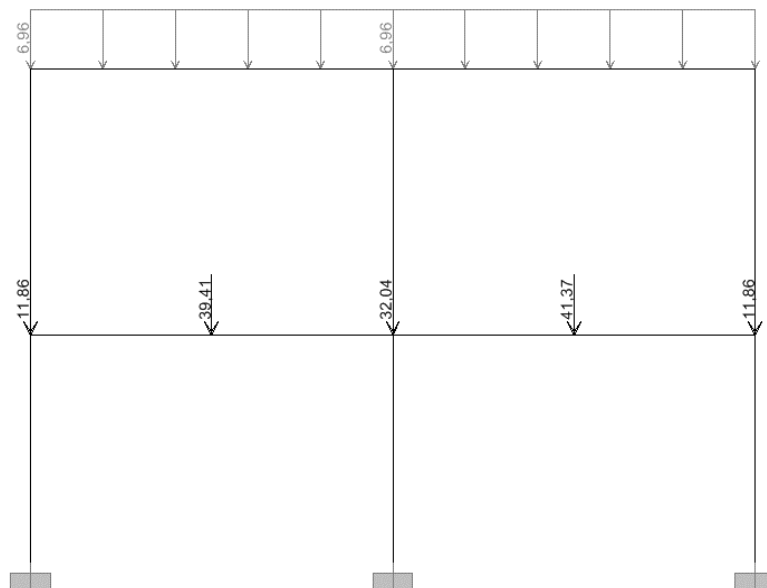
*Definicije opterećenja:*

LoadCase	DesignType	SelfWtMult	AutoLoad
Text	Text	Unitless	Text
DEAD	DEAD	1	
Stalno	DEAD	0	
Korisno	LIVE	0	
Vjetar	WIND	0	None

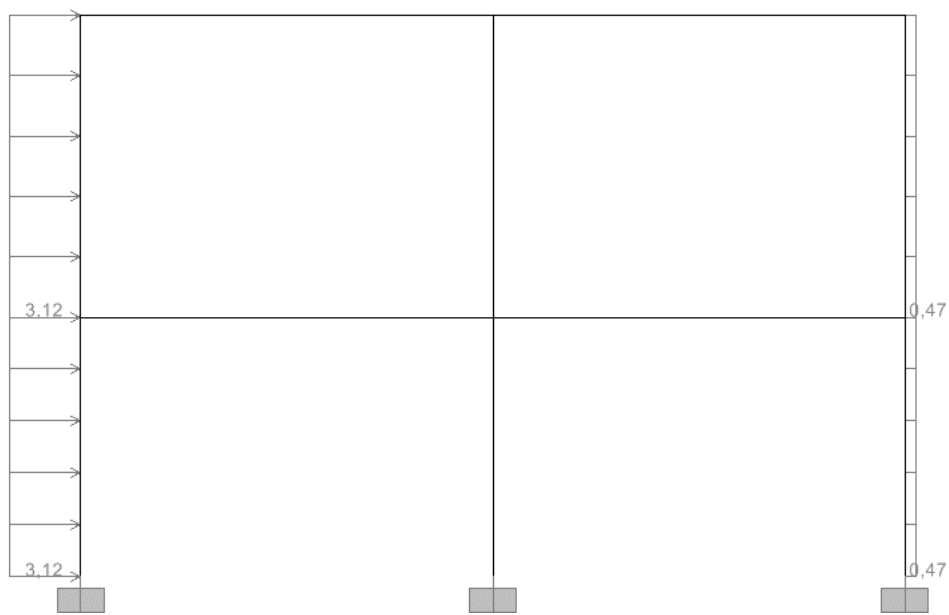
*Shema stalnog opterećenja:*



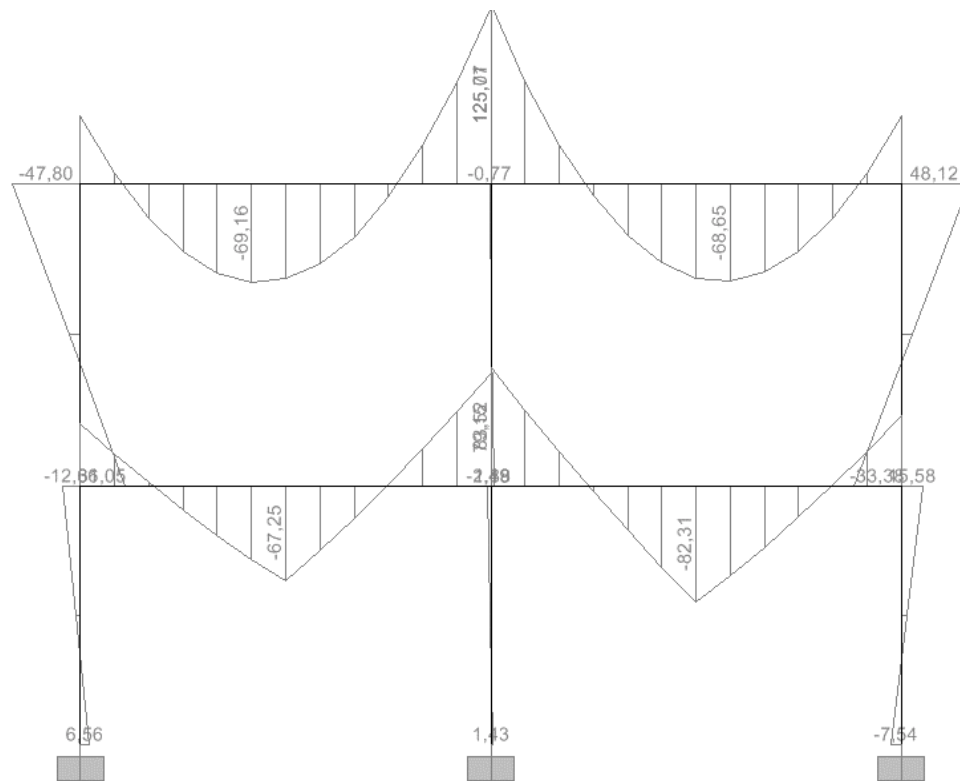
*Shema korisnog opterećenja:*



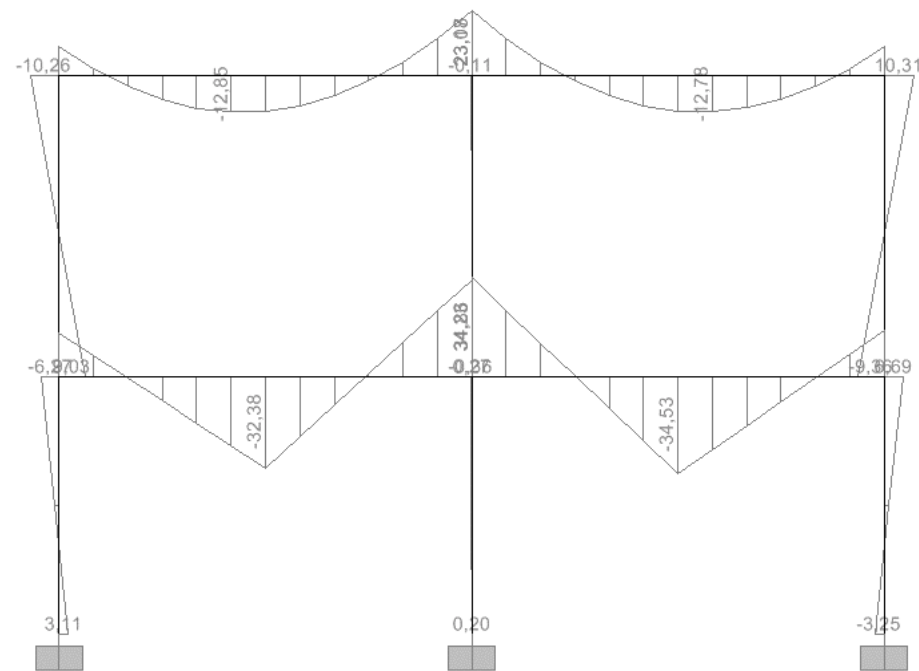
Shema korisnog opterećenja:



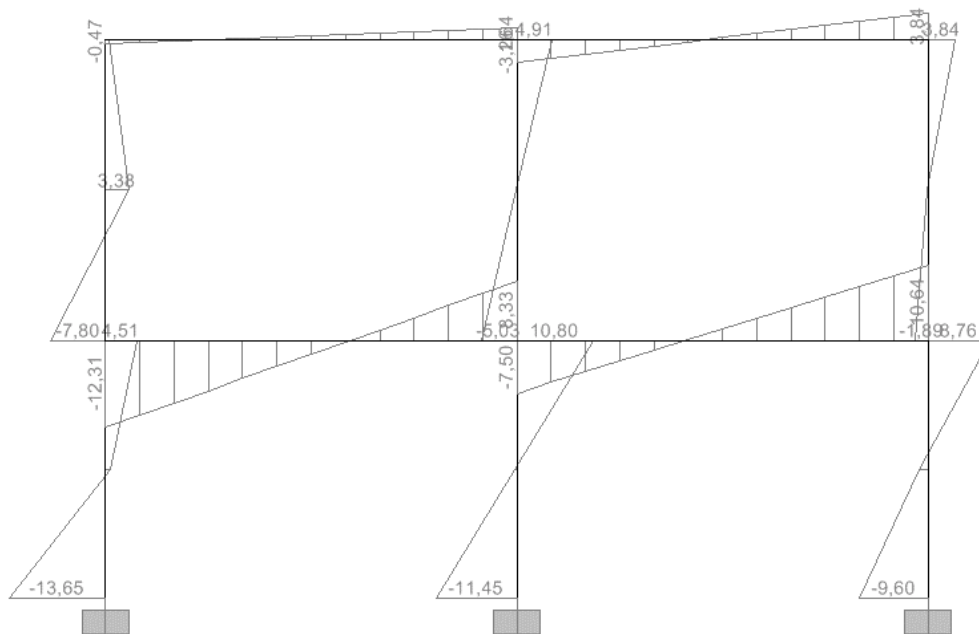
Momentni dijagram od stavnog opterećenja:



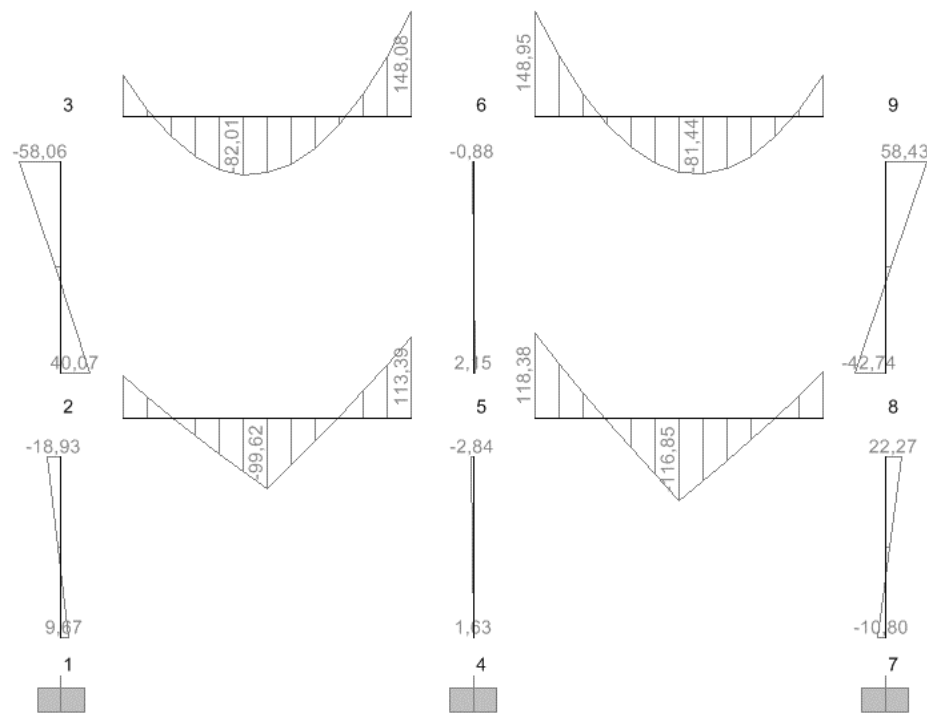
Momentni dijagram od korisnog opterećenja:



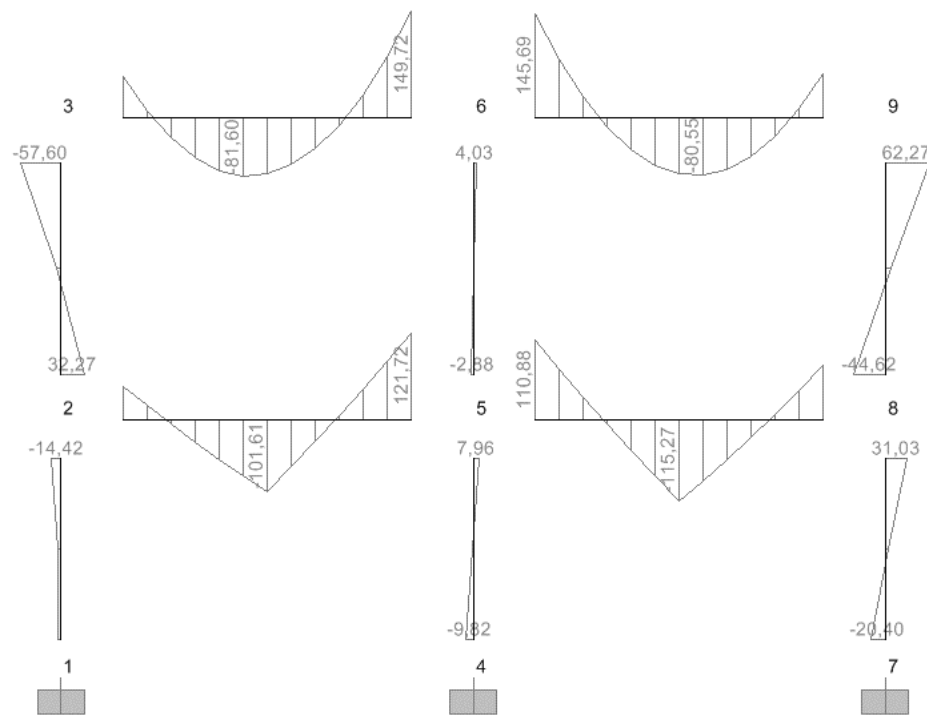
Momentni dijagram od opterećenja vjetrom:



**Ukupni momentni dijagram(stalno+korisno):**



**Ukupni momentni dijagram(stalno+korisno+vjetar):**

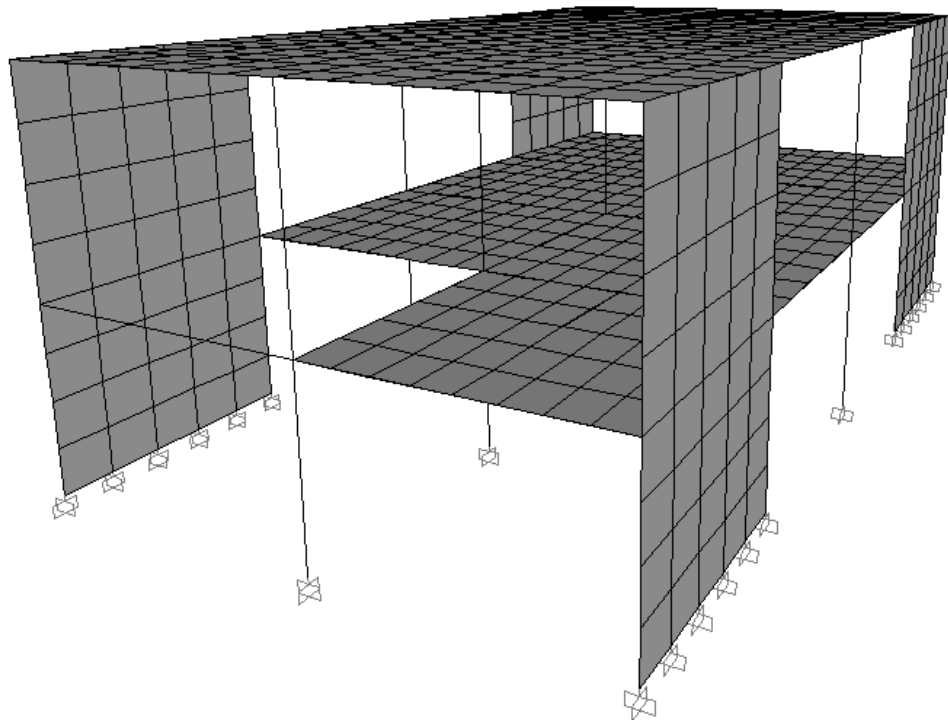


Ukupni momentni dijagram (stalno+korisno+vjetar) se ne će koristiti u daljnjoj analizi već je ovdje prikazan radi preglednosti.

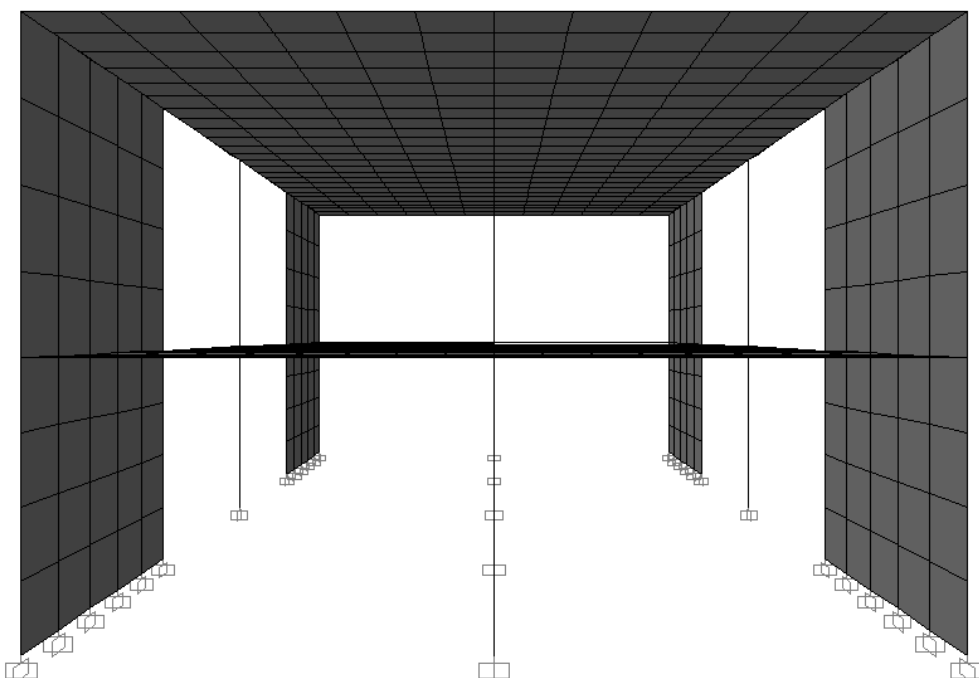
## **6. STATIČKI PRORAČUN PROSTORNOG MODELAA**

## 6.1. STATIČKI PRORAČUN PROSTORNOG MODELA (SAP)

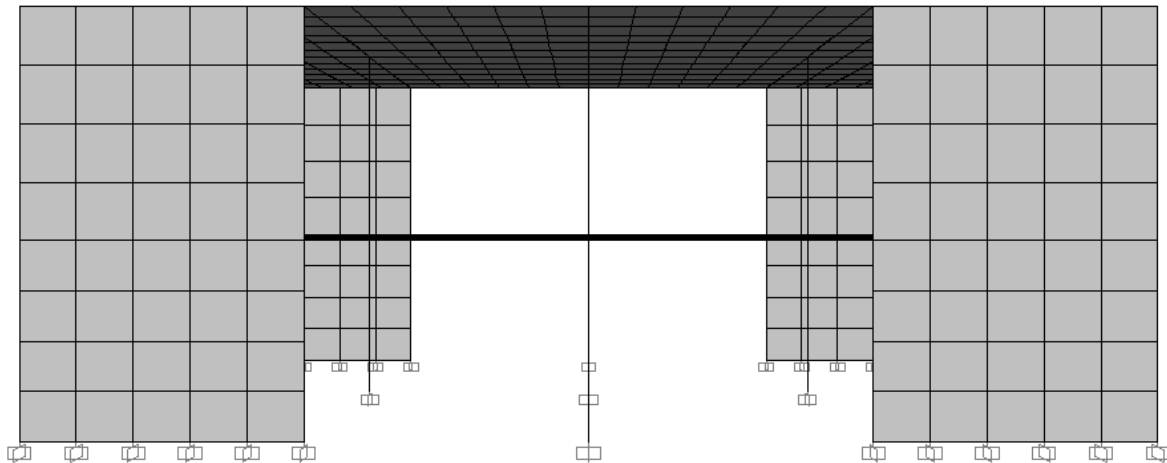
*Shema prostornog modela:*



*Ravina xy - perspektiva:*



Ravina xz - perspektiva:



Dimenzije poprečnog presjeka plošnih elemenata:

Section	Material	AreaType	Type	Thickness	BendThick
Text	Text	Text	Text	m	m
PLOCA200	4000Psi	Shell	Shell-Thin	0,12	0,12
PLOCA300	FERT	Shell	Shell-Thin	0,21	0,21
ZID	4000Psi	Shell	Shell-Thin	0,16	0,16

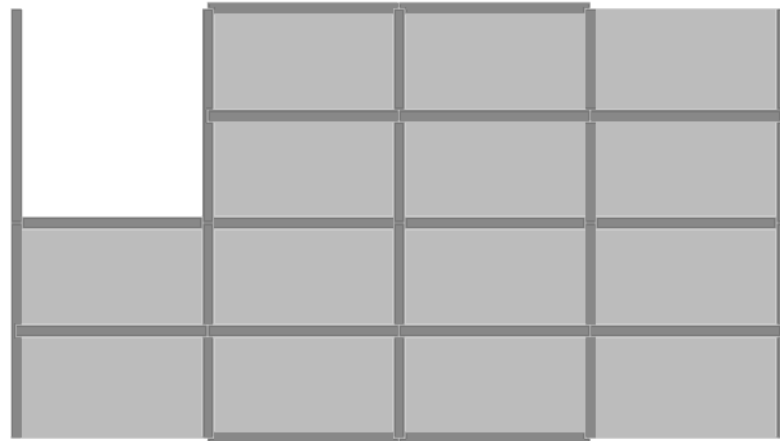
Dimenzije poprečnog presjeka štapnih elemenata:

SectionName	Material	Shape	t3	t2	Area
Text	Text	Text	m	m	m2
GREDA200-P.S.	4000Psi	Rectangular	0,7	0,3	0,21
GREDA200-U.S.	4000Psi	Rectangular	0,5	0,32	0,16
GREDA300-P.S.	4000Psi	Rectangular	0,55	0,3	0,165
GREDA300-U.S.	4000Psi	Rectangular	0,55	0,3	0,165
POMOCNA-GREDA	4000Psi	Rectangular	0,21	0,1	0,021
STUP	4000Psi	Rectangular	0,4	0,4	0,16

Definicije opterećenja:

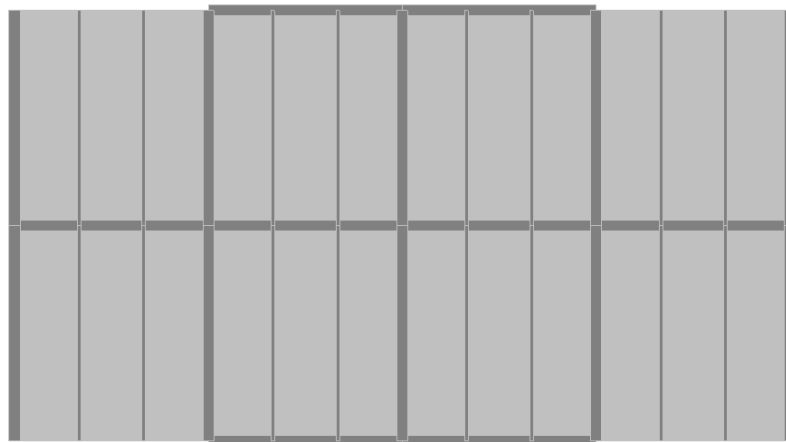
LoadCase	DesignType	SelfWtMult	AutoLoad
Text	Text	Unitless	Text
DEAD	DEAD	1	
STALNO	DEAD	0	
KORISNO	LIVE	0	
VJETAR	WIND	0	None
SNIJEG	SNOW	0	

Shema opterećenja ploče poz. 200:



Area	LoadCase	CoordSys	Dir	UnifLoad
Text	Text	Text	Text	KN/m <sup>2</sup>
PLOCA200	STALNO	GLOBAL	Gravity	0,73
PLOCA200	KORISNO	GLOBAL	Gravity	2

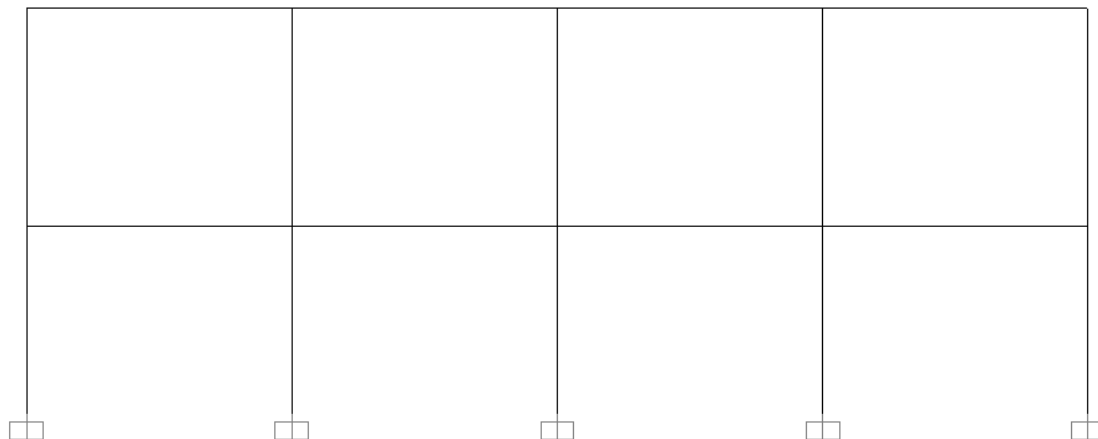
Shema opterećenja ploče i greda poz. 300:



Area	LoadCase	CoordSys	Dir	UnifLoad
Text	Text	Text	Text	KN/m <sup>2</sup>
PLOCA300	STALNO	GLOBAL	Gravity	2,45

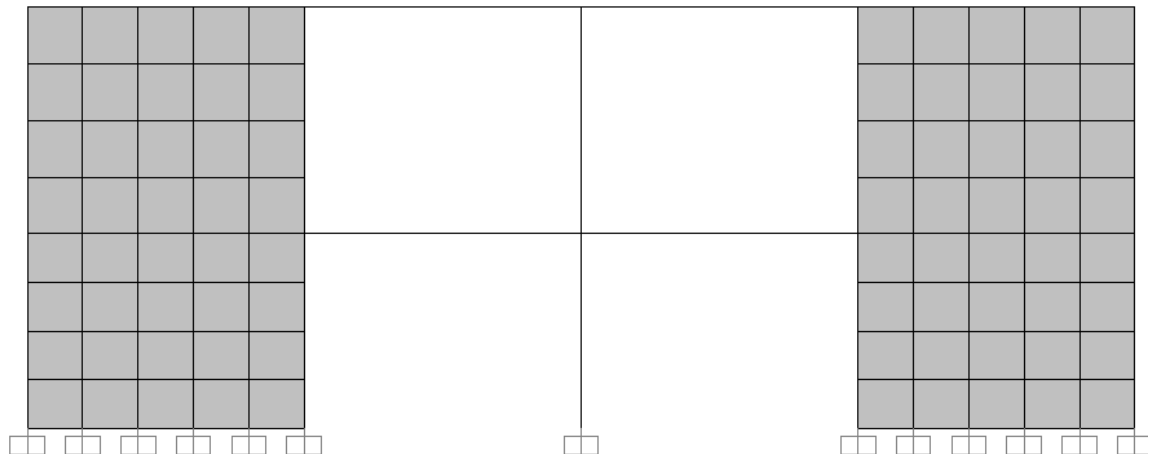
<b>Frame</b>	<b>LoadCase</b>	<b>CoordSys</b>	<b>Dir</b>	<b>FOverLA</b>	<b>FOverLB</b>
Text	Text	Text	Text	KN/m	KN/m
GREDA300-P.S.	STALNO	GLOBAL	Gravity	1,21	1,21
GREDA300-P.S.	SNIJEG	GLOBAL	Gravity	1,8	1,8
GREDA300-P.S.	VJETAR	GLOBAL	Gravity	0,52	0,52
POMOCNA-GREDA	STALNO	GLOBAL	Gravity	1,21	1,21
POMOCNA-GREDA	SNIJEG	GLOBAL	Gravity	1,8	1,8
POMOCNA-GREDA	VJETAR	GLOBAL	Gravity	0,52	0,52

*Shema opterećenja vjetrom vanjskih stupova srednjeg uzdužnog okvira:*



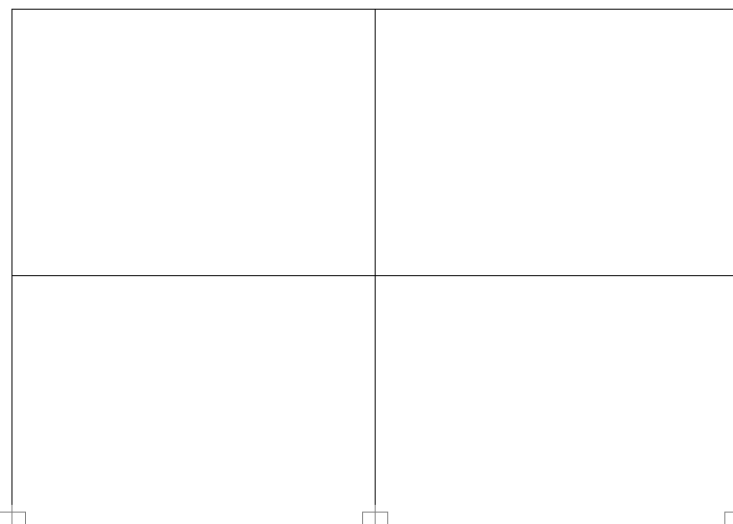
<b>Frame</b>	<b>LoadCase</b>	<b>CoordSys</b>	<b>Dir</b>	<b>FOverLA</b>	<b>FOverLB</b>
Text	Text	Text	Text	KN/m	KN/m
STUP	VJETAR	GLOBAL	Gravity	0,92	0,92
STUP	VJETAR	GLOBAL	Gravity	-0,92	-0,92

Shema opterećenja vjetrom uzdužnih zidova:



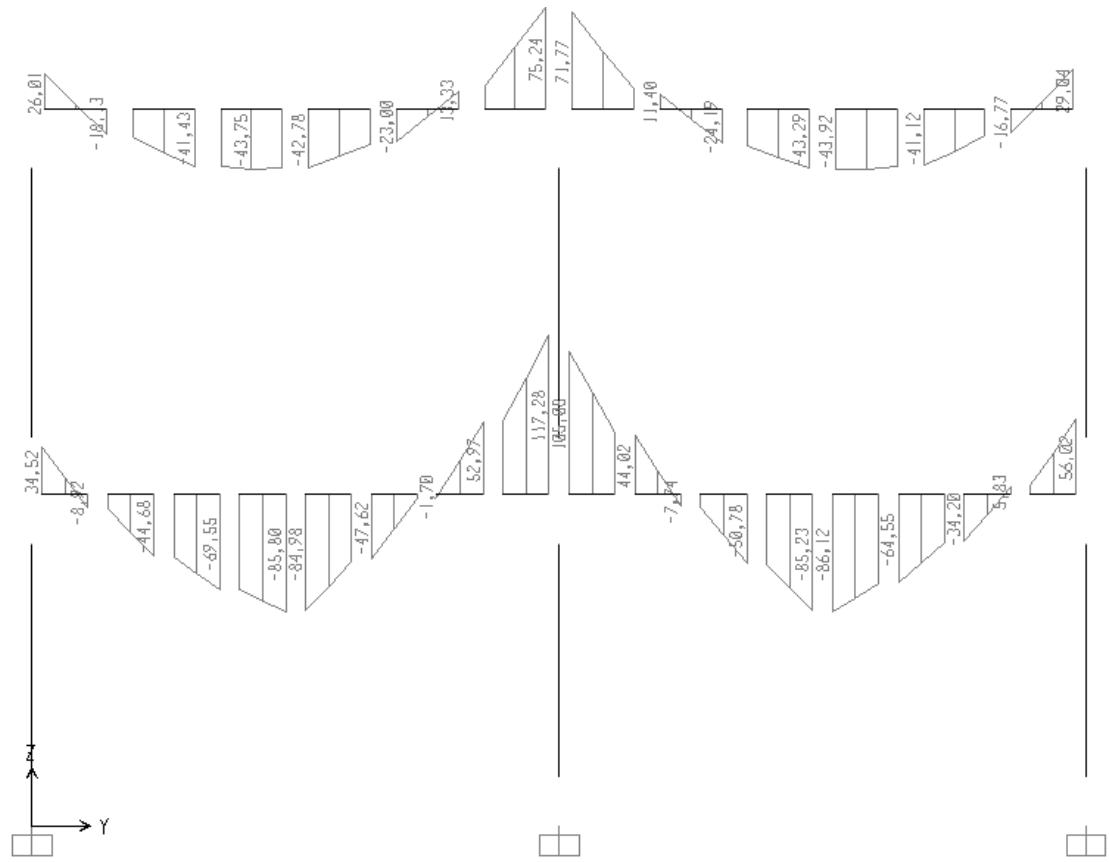
<b>Area</b>	<b>LoadCase</b>	<b>CoordSys</b>	<b>Dir</b>	<b>UnifLoad</b>
Text	Text	Text	Text	KN/m <sup>2</sup>
ZID	VJETAR	GLOBAL	Y	0,6
ZID	VJETAR	GLOBAL	Y	-0,09

Shema opterećenja vjetrom vanjskih stupova srednjeg poprečnog okvira:



<b>Frame</b>	<b>LoadCase</b>	<b>CoordSys</b>	<b>Dir</b>	<b>FOverLA</b>	<b>FOverLB</b>
Text	Text	Text	Text	KN/m	KN/m
STUP	VJETAR	GLOBAL	Y	3,12	3,12
STUP	VJETAR	GLOBAL	Y	-0,47	-0,47

*Ukupni momentni dijagram srednjeg poprečnog okvira:*



## 7. USPOREDBA NUMERIČKIH REZULTATA

## 7.1. USPOREDBA NUMERIČKIH REZULTATA U KARAKTERISTIČNIM TOČKAMA

		<b>Vanjski ležaj Lijevo</b>	<b>Polje Lijevo</b>	<b>Srednji ležaj Lijevo</b>	<b>Srednji ležaj Desno</b>	<b>Polje Desno</b>	<b>Vanjski ležaj Desno</b>
<b>HIJERARHIJSKI MODEL</b>	<i>Greda 310-311 Greda 220-221</i>	<b>0</b>	<b>101,05</b>	<b>180,21</b>	<b>180,21</b>	<b>101,05</b>	<b>0</b>
<b>RAVNINSKI MODEL</b>	<i>Greda 310-311 Greda 220-221</i>	<b>0</b>	<b>108,03</b>	<b>148,45</b>	<b>148,45</b>	<b>130,75</b>	<b>0</b>
<b>PROSTORNI MODEL</b>	<i>Greda 310-311 Greda 220-221</i>	<b>58,06</b>	<b>82,01</b>	<b>148,08</b>	<b>148,95</b>	<b>81,44</b>	<b>58,43</b>
		<b>59,00</b>	<b>99,62</b>	<b>113,39</b>	<b>118,38</b>	<b>116,85</b>	<b>65,01</b>
		<b>26,01</b>	<b>43,75</b>	<b>75,24</b>	<b>71,77</b>	<b>43,92</b>	<b>29,04</b>
		<b>34,52</b>	<b>85,80</b>	<b>117,28</b>	<b>105,08</b>	<b>86,12</b>	<b>56,02</b>

Svi iznosi izraženi su u kNm!

## ZAKLJUČAK

Zajednička stvar kod oba dva pristupa proračuna okvirnoj konstrukciji je ta da su ispravni. Međutim odmah se uočava velika razlika u vrijednostima momenata u karakterističnim točkama (i u obliku M dijagrama) te na temelju toga možemo zaključiti da postupkom hijerarhijske ovisnosti postižemo veću sigurnost pri dalnjem projektiranju konstrukcije (dimenzioniranju).

## LITERATURA

- (1) J.Dvornik, D.Lazarević ; Kreativnost i inženjerska prosudba , Građevinar 59
- (2) J.Radić i suradnici ; Betonske konstrukcije , priručnik
- (3) J.Radić i suradnici ; Betonske konstrukcije , riješeni primjeri
- (4) A.Mandić, D.Čizmar, V.Rajčić ; Djelovanja snijegom i vjetrom prema europskim normama , priručnik
- (5) V.Rajčić, A.Bjelanović ; Drvene konstrukcije prema europskim normama
- (6) Separati s predavanja kolegija Betonske i zidane konstrukcije 1
- (7) [www.grad.hr/nastava/nmk](http://www.grad.hr/nastava/nmk)
- (8) [www.grad.hr/nastava/gs](http://www.grad.hr/nastava/gs)